

# Matlab 图像处理实验报告

暮月

2020 年 8 月 4 日

## 目录

<b>1</b>	<b>基础知识</b>	<b>1</b>
1.1	练习题 . . . . .	1
<b>2</b>	<b>图像压缩编码</b>	<b>3</b>
2.1	图像预处理 . . . . .	3
2.2	二维 DCT 的实现 . . . . .	4
2.3	二维 DCT 系数矩阵性质 1 . . . . .	5
2.4	二维 DCT 系数矩阵性质 2 . . . . .	6
2.5	差分编码系统的频率响应 . . . . .	7
2.6	DC 预测的误差 . . . . .	8
2.7	Zig-Zag 扫描的实现 . . . . .	8
2.8	分块量化的实现 . . . . .	10
2.9	JPEG 编码 . . . . .	10
2.10	压缩比 . . . . .	11
2.11	JPEG 解码 . . . . .	11
2.12	量化步长的影响 . . . . .	13
2.13	雪花图 . . . . .	13
<b>3</b>	<b>信息隐藏</b>	<b>15</b>
3.1	空域隐藏 . . . . .	15
3.2	频域隐藏 . . . . .	15
<b>4</b>	<b>人脸检测</b>	<b>16</b>
4.1	训练标准特征 . . . . .	16
4.2	使用循环进行人脸检测 . . . . .	17
4.3	颜色分布直方图检测的稳定性 . . . . .	18
4.4	人脸样本训练标准的选取 . . . . .	19
<b>5</b>	<b>后记</b>	<b>20</b>

**环境与依赖说明** 本次实验使用的是 Matlab R2020a Update3，主要使用了 Image Processing Toolbox 11.1、Computer Vision Toolbox 9.2 和 Parallel Computing Toolbox 7.2。Matlab 设置为使用 utf-8 编码，所有代码文件无特殊情况均为此编码，注释以英文为主。

# 1 基础知识

## 1.1 练习题

利用 MATLAB 提供的函数完成以下任务

- (a) 以测试图像的中心为圆心，图像的长宽中较小值的一半为半径画一个红颜色的圆

经在文档中搜索，Computer Vision Toolbox 中存在函数 `insertShape` 可以直接在图像中绘制圆形。下方代码用于绘制满足要求的一个红色半透明圆形：

```
[h, w, c] = size(img);

pos = [[w, h] / 2, min([w, h] / 2)];
img_circle = insertShape(img, 'Circle', pos, ...
    'color', 'red', 'Opacity', 1);
```

此外，还可以通过圆的一般方程或者参数方程绘制：

```
circle_mask = ((x-pos(1)).^2 + (y-pos(2)).^2 >= pos(3).^2+60) ...
    | ((x-pos(1)).^2 + (y-pos(2)).^2 <= pos(3).^2-60);
img_circle = img .* circle_mask;
img_circle(:,:,1) = img_circle(:,:,1) + ~circle_mask;

phi = 0:1:359;
x_ = max(min(round(pos(1) + pos(3) * cos(phi)), w), 1);
y_ = max(min(round(pos(2) + pos(3) * sin(phi)), h), 1);
img_circle = img;
img_circle(sub2ind(size(img), y_, x_, ones(1, 360))) = 1;
img_circle(sub2ind(size(img), y_, x_, 2 * ones(1, 360))) = 0;
img_circle(sub2ind(size(img), y_, x_, 3 * ones(1, 360))) = 0;
```

- (b) 将测试图像涂成国际象棋状的“黑白格”的样子，其中“黑”即黑色，“白”即意味着保留原图

只需构造一个分块为 1 或 0 的矩阵，再与图像矩阵进行逐元素乘，便可让图像分块。即类似：

$$\text{Img} \cdot * \begin{bmatrix} 1 & \cdots & 1 & 0 & \cdots & 0 \\ \vdots & \ddots & \vdots & \vdots & \ddots & \vdots \\ 1 & \cdots & 1 & 0 & \cdots & 0 \\ 0 & \cdots & 0 & 1 & \cdots & 1 \\ \vdots & \ddots & \vdots & \vdots & \ddots & \vdots \\ 0 & \cdots & 0 & 1 & \cdots & 1 \end{bmatrix} = \begin{bmatrix} \text{Img}_1 & 0 \\ 0 & \text{Img}_2 \end{bmatrix}$$

故只需将每个像素的坐标先除以格宽，再对 2 求余，便可以得到纵横方向上的 01 分布。然后将这个 01 分布进行异或，便可以得到一个 01 组成的块相间分布的矩阵。最后与图像矩阵进行逐元素乘得到所需结果。核心代码如下：

```
[x, y] = meshgrid(1:w, 1:h);

grid_width = 10;
x_mask = mod(floor(x / grid_width), 2);
y_mask = mod(floor(y / grid_width), 2);
grid_mask = double(xor(x_mask, y_mask));
img_grid = grid_mask .* img;
```

最终结果如图1



(a) 绘制圆形



(b) 绘制棋盘

图 1: 基础知识练习图像结果

## 2 图像压缩编码

### 2.1 图像预处理

对图像的预处理和二维 DCT 变换结合, 记从原始图像中取得小块为  $P$ , DCT 算子为  $D$ , 最终系数为  $C$ , 则过程为

$$C = D \cdot (P - \begin{bmatrix} 128 & \cdots & 128 \\ \vdots & \ddots & \vdots \\ 128 & \cdots & 128 \end{bmatrix}) \cdot D^T$$

$$= DPD^T - D \begin{bmatrix} 1 \\ \vdots \\ 1 \end{bmatrix} 128 \begin{bmatrix} 1 & \cdots & 1 \end{bmatrix} D^T$$

将矩阵算子  $D$  与全 1 向量乘法展开, 且注意到  $D$  中除了第一行外行和为 0

$$D_{N \times N} \begin{bmatrix} 1 \\ \vdots \\ 1 \end{bmatrix} = \sqrt{\frac{2}{N}} \begin{bmatrix} N\sqrt{\frac{1}{2}} \\ \sum_{i=1}^N \cos \frac{(2i-1)\pi}{2N} \\ \vdots \\ \sum_{i=1}^N \cos \frac{(N-1)(2i-1)\pi}{2N} \end{bmatrix} = \begin{bmatrix} \sqrt{N} \\ 0 \\ \vdots \\ 0 \end{bmatrix}$$

代入  $C$  的计算式, 得变换域的预处理方法

$$C = DPD^T - 128 \begin{bmatrix} N & 0_{1 \times (N-1)} \\ 0_{(N-1) \times 1} & 0_{(N-1) \times (N-1)} \end{bmatrix}$$

化为 Matlab 代码，在图像中随机选取一块  $8 \times 8$  的区域，分别进行空域和频域的处理，再使用 2-范数衡量差异

```
width = 8;
[h, w] = size(hall_gray);
D = dctmtx(width);

piece_x = floor(rand * (h - width) + 1);
piece_y = floor(rand * (w - width) + 1);
test_piece = double(hall_gray(piece_x:(piece_x + width - 1), ...
                                piece_y:(piece_y + width - 1)));

% spatial domain
piece_sd = test_piece - 128;
dct_sd = D * piece_sd * D';

% frequency domain
dct_fd = D * test_piece * D';
dct_fd(1,1) = dct_fd(1,1) - 128 * width;

disp(norm(dct_sd - dct_fd));
```

执行程序，得到的范数约为  $1.5 \times 10^{-12}$ ，随机选取的小区域处理后的结果示例如图2

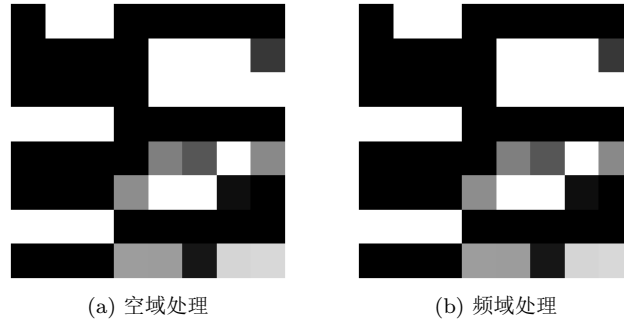


图 2: 图像 DCT 变换预处理结果

显然两种处理方式没有区别，都完成了预处理工作。考虑到代码的易读性，后面将更多采用空域处理的方式。

## 2.2 二维 DCT 的实现

分别实现dct\_mat和dct\_2两个函数，用于生成矩阵算子 D 和进行二维 DCT。由于考虑的是对图片的正方形区域进行 DCT，所以函数中进行判断确保输入为方阵。

```

function D = dct_mat(N)
% DCT_MAT DCT N * N operator
% param N: width, height of the piece
% return D: N * N square matrix

t = 0 : N - 1;
D = cos(t' * (2 * t + 1) * pi / (2 * N));
D(1,:) = sqrt(0.5);
D = D * sqrt(2 / N);
end

```

```

function C = dct_2(P)
% DCT_2 2D discrete cosine transform
% param P: square matrix
% return C: transformed result

[w, h] = size(P);
assert(w==h, "P must be a square matrix");
P = double(P);
D = dct_mat(w);
C = D * P * D';
end

```

再对hall\_gray分别用 Image Processing Toolbox 中的dct2和前面实现的dct\_2进行处理，使用 2-范数衡量差异。

```

mat_dct2 = @(block_struct) dct2(block_struct.data);
my_dct2 = @(block_struct) dct_2(block_struct.data);

mat_c = blockproc(img, [width width], mat_dct2, ...
    'PadPartialBlocks', true);
my_c = blockproc(img, [width width], my_dct2, ...
    'PadPartialBlocks', true);

```

最终 2-范数差异为  $1.1133 \times 10^{11}$ ，可以认为功能一致。对hall\_gray处理的结果见图3



(a) Matlab 方法



(b) 自行实现方法

图 3: 二维 DCT 变换

### 2.3 二维 DCT 系数矩阵性质 1

将 DCT 处理后的系数矩阵左右四列分别置零，再经逆变换得到图像如图4

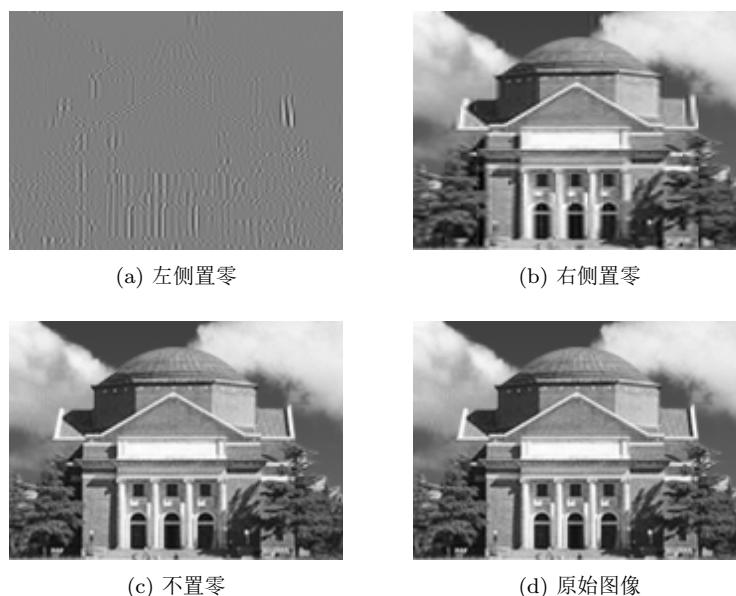


图 4: 二维 DCT 变换系数矩阵变化的影响 1

可以看到，左侧置零的结果图4a损失了大量人用来理解图像的原始信息，右侧置零的结果图4b则仍可清晰辨认。从 DCT 变换的原理来看，系数矩阵  $C$  的左上角为直流和低频分量，左下角为竖直高频和水平低频分量，右上角为竖直低频和水平高频分量，右下角为高频分量。当左侧置零时，水平方向的低频分量被消去，只剩高频分量，表现在测试图片上就是保留了明暗剧烈变化处的分界线；当右侧置零时，水平方向的高频分量被消去，只剩低频分量，表现在测试图片上就是明暗剧烈变化处模糊化。

提取横坐标 57-64，纵坐标 81-88 的区域进行观察，如图5

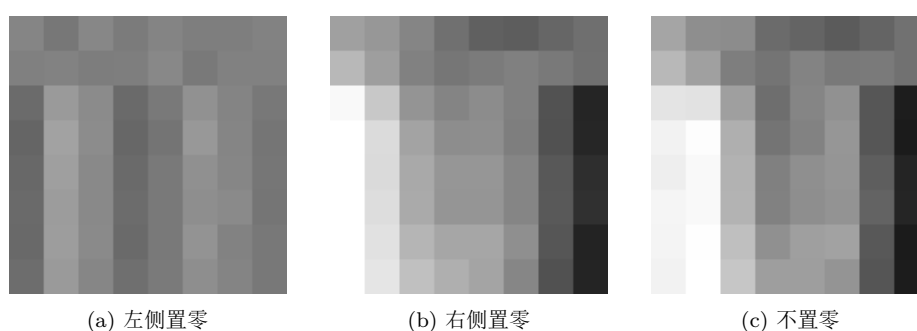


图 5: 二维 DCT 变换系数矩阵变化的影响 2

相对于不置零的图5c，右侧置零的图5b的水平变化看上去更加平滑，左侧置零的图 5a更加凸显了水平方向上的不同。这与前面的分析是一致的。

### 2.4 二维 DCT 系数矩阵性质 2

对整张图的系数和对每一个  $8 \times 8$  的系数矩阵进行转置、旋转的操作，结果如图 6

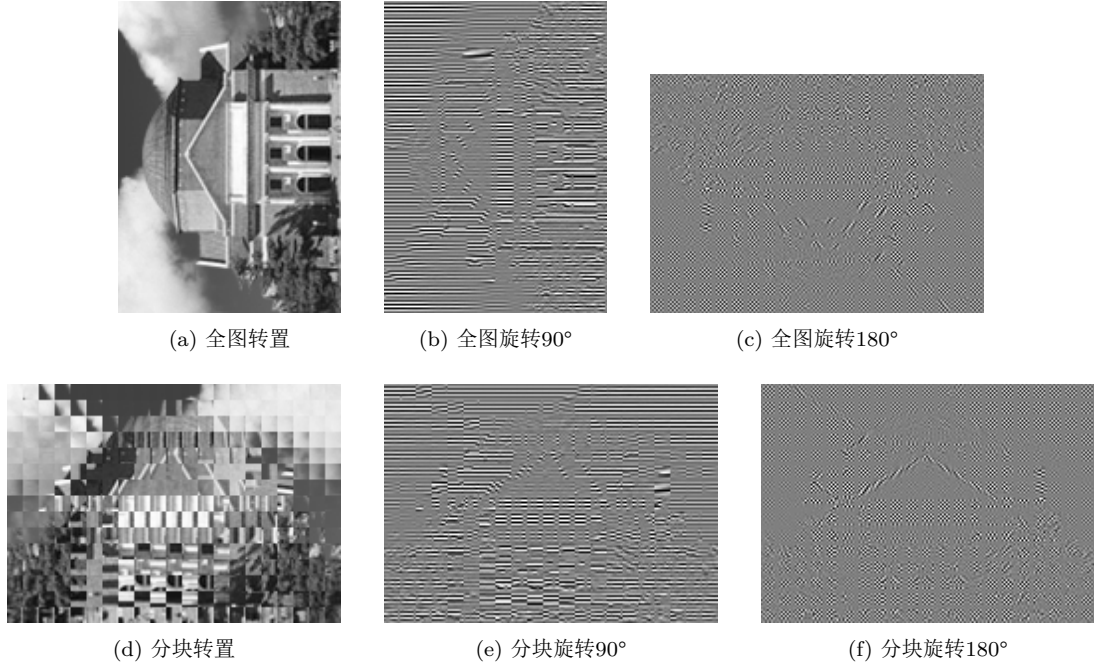


图 6: 二维 DCT 变换系数矩阵变化的影响 3

除了全图的系数进行转置以外，都难以识别。考虑变换的过程，对系数矩阵  $C$  进行转置，只是将水平和垂直方向的系数做了交换，逆变换得到的结果也确实将水平和垂直方向的图案进行了“交换”，得到了将空域转置的效果。采用数学形式的描述即

$$\begin{aligned}
 P &= D^T C D \\
 P^T &= (D^T C D)^T \\
 &= D^T C^T D
 \end{aligned}$$

而对每个  $8 \times 8$  的区域做转置，虽然同样符合此公式，但变换回空域后图案“不连续”，人难以识别该图片。

对于旋转90°，由章节 2.3 中的分析，系数较大的直流与低频区域旋转至了垂直方向高频区域，故恢复的图像中由非常明显的横条纹，即垂直方向的剧烈变化。而旋转180°则将系数较大的直流与低频变换到了水平与垂直的共同高频区，造成了恢复后图像中大量的“棋盘状”黑白交替区域。

值得一提的是，全图系数旋转90°后，还能隐约看出与全图转置一致的结构信息。或许结构信息的分布经转置和旋转后差异较小，仍可以被识别。

## 2.5 差分编码系统的频率响应

该差分编码系统给出如下差分方程

$$y(n) = x(n-1) - x(n)$$

对其进行  $Z$  变换，易得系统函数为

$$H(z) = z^{-1} - 1$$

故采用 `freqz([-1, 1], 1)` 函数绘制系统的频率响应如图

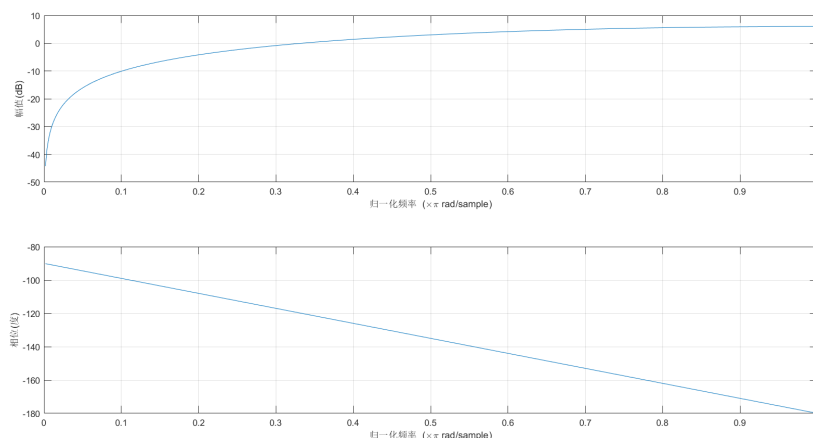


图 7: 差分编码系统的频率响应

显然，这是一个高通系统，对 DC 系数进行差分编码便是为了略去过多的低频分量。

## 2.6 DC 预测的误差

根据表格，易得二者间满足如下关系

$$\text{category} = \lceil \log_2(|\text{预测误差}| + 1) \rceil$$

对应到 Matlab 代码为

```
category = ceil(log2(abs(x) + 1))
```

需注意的是，上方代码给出的 `category` 从 0 开始，之后若需用作索引，应加 1 满足 Matlab 从 1 开始的规定。

## 2.7 Zig-Zag 扫描的实现

考虑 Zig-Zag 扫描在压缩编码中使用的场景永远是  $8 \times 8$  的矩阵，可以简单的使用一个索引数组作为表，然后使用查表的方法进行扫描

$$\text{index} = \begin{bmatrix} 1 & 9 & 2 & \dots & 56 & 64 \end{bmatrix}$$

考虑更一般的情形，可以对任意形状的矩阵使用循环，以  $O(n^2)$  的复杂度进行一轮 Zig-Zag 扫描。函数实现类似于



```

function output = zigzag(input)
    [r, c] = size(input);
    output = zeros(1, r * c);
    i = 1;
    j = 1;
    cnt = 1;

    while ((i <= r) && (j <= c))
        output(cnt) = input(i, j);
        cnt = cnt + 1;
        if (mod(i + j, 2))
            % odd ⇒ down
            if (i == r)
                j = j + 1;
            elseif (j == 1)
                i = i + 1;
            else
                i = i + 1;
                j = j - 1;
            end
        else
            % even ⇒ up
            if (j == c)
                i = i + 1;
            elseif (i == 1)
                j = j + 1;
            else
                i = i - 1;
                j = j + 1;
            end
        end
    end
end
end

```

在 Stack Overflow 上面搜索后，找到了下方性能优异的实现方式<sup>1</sup>

```

function output = zigzag_amro(input)
    ind = reshape(1:numel(input), size(input));
    ind = fliplr(spdiags(fliplr(ind)) );
    ind(:,1:2:end) = flipud(ind(:,1:2:end));
    ind(ind==0) = [];
    output = input(ind);
end

```

<sup>1</sup>这两段代码将 Stack Overflow 上的问题[Matrix “Zigzag” Reordering](#)中 Amro 和 Luis Mendo 的答案改为函数。

```
function output = zigzag_luis(input)
    [r, c] = size(input);
    M = bsxfun(@plus, (1:r).', 0:c-1);
    M = M + bsxfun(@times, (1:r).'/(r+c), (-1).^M);
    [~, ind] = sort(M(:));
    output = input(ind).';
end
```

其中 Amro 的实现方式利用 `spdiags` 函数将矩阵元素放在对角线上，从而将 Zig-Zag 扫描变为了竖直方向的扫描，再通过翻转特定的列实现了扫描方向的改变，最后删除 0 元素得到 Zig-Zag 矩阵作为索引。而 Luis 的实现方式巧妙的建立一个矩阵，其元素与其位置相关，大小按 Zig-Zag 扫描顺序排列，从而得到了一个索引矩阵。

这两种方法虽然巧妙、高效，但是在本次实验的流程中，并不比查表有优势，故此后将使用查表的方式实现 Zig-Zag 扫描。此外，在解码过程中需要将 Zig-Zag 扫描得到的序列还原，即还需要一个逆过程的表。逆过程的表可以使用如下方式创建

```
zigzag_inv_ind = zeros(1, 64)
zigzag_inv_ind(zigzag_ind) = 1:64
```

即使用 `zigzag_ind` 作为索引矩阵，按照位置排列 1-64。

## 2.8 分块量化的实现

与前面一样，先构造一个处理函数，然后使用 `blockproc` 实现分块处理，代码如下

```
img = double(hall_gray) - 128;
process = @(block_struct) dct_process(block_struct.ata, ...
                                     QTAB, zigzag_ind);

DCT = blockproc(img, [8 8], process, 'PadPartialBlocks', true);
DCT = reshape(DCT', size(DCT, 2), 64, []);
DCT = permute(DCT, [2, 1, 3]);
DCT = reshape(DCT, 64, []);

function output = dct_process(input, QTAB, zigzag_ind)
    C = dct_2(input);
    C_quant = round(C ./ QTAB);
    C_zigzag = C_quant(zigzag_ind);
    output = C_zigzag';
end
```

这会得到一个 64 行的矩阵 DCT，每列即每块经 DCT 处理和量化后的系数。

注意使用了 `reshape` 和 `permute` 将 `blockproc` 得到的矩阵改为需要的格式。这种方法参考了 Stack Overflow 的问题 [Matlab reshape horizontal cat](#) 下 Luis Mendo 的回答。此方法巧妙地利用转置和 `permute`，利用 Matlab 矩阵列优先的特性，将 `blockproc` 得到的  $64m \times n$  的矩阵先划分为  $m$  层  $64 \times n$  的矩阵，再拼成一个  $64 \times mn$  的矩阵，完成了行优先的变形。

## 2.9 JPEG 编码

在章节 2.8 的基础上，加入编码的部分。因为使用 Matlab 中 `dec2bin` 等函数（封装为 1 补码并转换为向量），且编码长度不定，故编码采用一维向量不断扩展的方式，可能造成性能较低。

对于 DC 编码，有如下代码呈现的 3 个部分：

```
DC_coef = coef(1, :);
DC_coef = [2 * DC_coef(1), DC_coef(1:end - 1)] - DC_coef;

dc_block_process = @(data) DC_process(data, DCTAB);
DC = arrayfun(dc_block_process, DC_coef, 'UniformOutput', false);
DC = cell2mat(DC);

function output = DC_process(input, DCTAB)
    category = ceil(log2(abs(input)+1)) + 1;
    huffman_code = DCTAB(category, ...
                          2:DCTAB(category, 1) + 1);
    dc_bin_mag = dec2bin_vec(input);
    output = [huffman_code, dc_bin_mag];
end
```

第一部分将量化 DC 系数进行差分，第二部分使用 `arrayfun` 对所有系数进行编码再使用 `cell2mat` 连接，第三部分为编码的函数。

使用的 `dec2bin_vec` 为基于 `dec2bin` 和 `bitcmp` 实现的 1 补码进制转换。

```
function bin_vec = dec2bin_vec(dec_int)
    if(dec_int > 0)
        bin_vec = split(dec2bin(dec_int), '');
        bin_vec = str2double(bin_vec(2:end - 1))';
    elseif(dec_int == 0)
        bin_vec = [];
    else
        bin_vec = dec2bin(bitcmp(abs(dec_int), 'uint16'));
        bin_vec = split(bin_vec(end ...
                              - size(dec2bin(abs(dec_int)), ...
                              2) + 1 : end), '');
        bin_vec = str2double(bin_vec(2:end - 1))';
    end
end
```

AC 编码做类似的处理，尚未找到方法替代循环实现其中的部分功能，且输出为不定长数组不能应用 `blockproc`，可能效率较低。行数较多，故略去，详见随报告附源代码。

## 2.10 压缩比

原图为  $120 \times 168$  的 `uint8` 矩阵，即有 20160 字节。经过 JPEG 压缩后为 2031 位 DC 码流与 23073 位 AC 码流，以二进制存储占据 25104 位，即 3138 字节，故压缩比约为 6.42。考虑到还需添加图片宽高等信息，并存储码表，实际文件大小可能会稍大一些。

## 2.11 JPEG 解码

解码主要分为 DC 解码、AC 解码、重组为系数矩阵、逆 DCT 变换四个部分。

对于 DC 编码使用的 Huffman 码表，观察发现以下三类情况：

1. 编码 00，幅度 0，序列 00
2. 编码三位，幅度序列长度为编码转十进制减 1
3. 编码多于 3 位，幅度序列长度为 0 索引加 2

故可以通过查找 0 出现的位置，判断编码类型，进而获取后面幅度的二进制表示。

```
cnt = 1;
while(cnt <= blocks)
    if(all(DC(1:2) == [0 0]))
        % category 0 mag 0
        DC(1:2) = [];
    else
        zero_ind = find(DC==0, 1);
        if(zero_ind < 4)
            huffman_code = DC(1:3);
            DC(1:3) = [];
            zero_ind = bin2dec( ...
                            strjoin( ...
                                string(huffman_code), '')) - 1;
        else
            DC(1:zero_ind) = [];
            zero_ind = zero_ind + 2;
        end
        mag = bin_vec2dec(DC(1:zero_ind));
        DC_coeff(cnt) = mag;
        DC(1:zero_ind) = [];
    end
    cnt = cnt + 1;
end
```

而对于 AC 编码，Huffman 码表较为复杂，故采用 `ismember` 和 `find` 结合的方式，查找序列的前 `i` 位是否存在于表中。

```
huffman(:) = 0;
for i = 1:16
    huffman(i) = AC(i);
    idx = find(ismember(ACTAB_code, huffman, 'rows'), 1);
    ...
end
```

对解码后的系数矩阵进行 `reshape` 和 `permute`，然后再做逆变换，得到图像

```

coef = [DC_coeff; AC_coeff];

inv_zigzag = @(block_struct) ...
    idct2(reshape(block_struct.data(zigzag_inv), [8 8]) .* QTAB);
coef = reshape( ...
    permute( ...
    reshape(coef, 64, blocksize(2), []), ...
    [2 1 3]), ...
    blocksize(2), []);

inv_img = blockproc(coef, [64, 1], inv_zigzag);
img = uint8(inv_img(1:height, 1:width) + 128);

```

对于解码得到的  $64 \times \text{blocks}$  的系数矩阵, 先使用 **reshape**, 转换为  $64 \times \text{横向块数} \times \text{纵向块数}$  的张量。再使用 **permute** 交换行列, 以满足 Matlab 列优先的特性。最后使用 **reshape** 和转置变形为  $64 \text{纵向块数} \times \text{横向块数}$  的矩阵。

然后利用之前存储的逆 Zig-Zag 扫描序列作为索引, 再使用 **reshape** 将每个  $64 \times 1$  的系数向量恢复成  $8 \times 8$  的方阵。再使用 **blockproc** 对所有块做反量化和逆 DCT 变换。最后裁切、加上 128, 再改为整型存储。

对 **hall\_gray** 进行编解码的结果如图8。

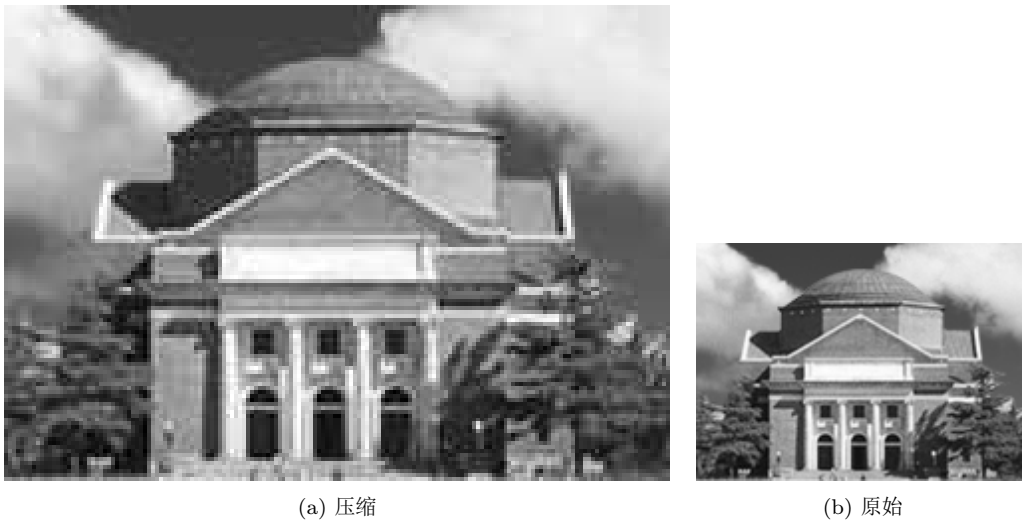


图 8: **hall\_gray** 编解码结果

经计算, PSNR 为 34.1878dB, 失真应不算大。放大图片进行观察, 经过编解码的图片中多出了一些噪声, 也隐隐有了分块的边界。比较明显的如天空与云交界处, 多出了许多噪点。云的颜色变化处有较为明显的分块特征。这或许正是 JPEG 压缩的特征: 由分成若干个  $8 \times 8$  的小块再编码的必然结果。

## 2.12 量化步长的影响

编码得到 DC 码流 2408 位, AC 码流 34156 位, 以二进制存储占 36564 位, 即 4570.5 字节, 压缩比约为 4.41。相比前面的结果, 压缩比上升, 应是由于量化步长减半导致 DC 与 AC 系数较大, 进而编码变长。



图 9: hall\_gray 量化步长/2 编解码

计算得到 PSNR 为 37.1791dB，效果较前面的结果有所上升。实际观察噪声情况略有改善，但仍有分块边界。

### 2.13 雪花图

对雪花图进行编码，得到 DC 码流 1403 位，AC 码流 43539 位，计算得压缩比约为 3.65，PSNR 为 25.95dB。这表明雪花图接近随机数矩阵，有较多高频分量，量化造成的压缩失真较大。

考虑每个小块整个 JPEG 编解码的过程（使用  $\cdot *$  和  $\cdot /$  表示逐元素乘除）：

$$\hat{P} = D^T(Q \cdot \text{round}(DPD^T./Q))D$$

失真由四舍五入导致，其幅度在 0 到量化步长之间。进一步考虑对每一块 MSE 的计算过程：

$$\begin{aligned} MSE &= \frac{1}{64} \sum_i^8 \sum_j^8 (P_{ij} - \hat{P}_{ij})^2 \\ &= \frac{1}{64} \sum (D^T(Q \cdot (DPD^T./Q - \text{round}(DPD^T./Q)))D)^2 \end{aligned}$$

故由于四舍五入产生的误差将被  $Q$  放大到相应的量化步长，经过 DCT 逆变换后才得到 MSE。中间的误差可以视为一系列在 0 到 1 之间均匀分布的随机数。

对于 DCT 逆变换，由于其为正交变换，且 MSE 的主干为 Frobenius 范数，由下式易知不会对结果产生影响：

$$\begin{aligned} \|A\|_F &= \sqrt{\sum_{i=1}^m \sum_{j=1}^n a_{ij}^2} = \sqrt{\text{tr}(A^T A)} \\ \|D^T A D\|_F &= \sqrt{\text{tr}((D^T A D)^T (D^T A D))} \\ &= \sqrt{\text{tr}(D^T A^T D D^T A D)} = \sqrt{\text{tr}((D^T A^T)(A D))} \\ &= \sqrt{\text{tr}(A D D^T A^T)} = \sqrt{\text{tr}(A A^T)} \end{aligned}$$

故 MSE 可以进一步转化为：

$$MSE = \frac{1}{64} \sum (Q \cdot A)^2$$

其中 A 为 U(0,1) 分布的随机数组成的矩阵。故可以计算其期望为：

$$E(x) = \int_0^{0.5} x^2 dx + \int_{0.5}^1 (1-x)^2 dx = \frac{1}{12}$$

所以 MSE 的理论结果为  $\sum(Q^2)/(12 \times 64) = 375.0365$ ，相应的 PSNR 为 22.39dB。与对雪花图进行压缩的结果相近，这表明雪花图确实接近随机矩阵。

注意到对雪花图进行编码时，AC 码流的长度较之前图像编码有了明显的上升，同时 PSNR 明显下降。推测是量化表中的系数经过设计，目的是对一般的图像中不太重要的高频信息进行滤波。而雪花图接近随机数注册的矩阵，量化表不适合对其进行处理，故最终压缩比相对较低。

## 3 信息隐藏

### 3.1 空域隐藏

使用randi生成一个随机 01 序列，并补 0 至长度与像素数一致。通过位移和加法，将像素最后一位替换为随机序列。经过 JPEG 编解码后与原有序列对比，记录正确率。代码如下

```
parfor i = 1:100
    secret = randi([0, 1], 1, randi(max_length));
    len = length(secret);
    secret_pad = [secret, zeros(1, max_length - len)];

    encode = reshape(bitshift(bitshift(img, -1), 1), 1, []);
    encode = reshape(encode + secret_pad, size(img));
    [DC, AC, height, width] = ...
        JPEG_encode(encode, QTAB, DCTAB, ACTAB, zigzag_ind);
    decode = ...
        JPEG_decode(DC, AC, height, width, QTAB, ACTAB, zigzag_inv_ind);

    secret_decode = reshape(decode, 1, []);
    secret_decode = mod(secret_decode(1:len), 2);

    correct = correct + sum(secret_decode == secret) / len;
end
```

最终得到正确率 0.4996，可以认为是生成了一段新的随机序列替换原有序列，完全破坏了隐藏信息。所以空域隐藏法抗编解码能力弱，不适于当前的互联网环境。

### 3.2 频域隐藏

根据说明，实现了以下三种频域隐藏方法：

a) dct\_embed\_1: 将二进制信息嵌入所有 dct 系数的最后一位

- b) **dct\_embed\_2**: 将二进制信息嵌入经 Zig-Zag 扫描后的 dct 系数从**bias**开始的**len**个系数的最后一位
- c) **dct\_embed\_3**: 将二进制信息变为 1, -1 序列, 嵌入 dct 系数最后一个不为 0 数的后面一位

三种方法的信息容量分别约为: 像素数、像素数/64 - 像素数、像素数/64。

测试时对于**dct\_embed\_2**采取将信息嵌入 2-9 位系数, 另外两种方法则使用基本满容量的信息进行嵌入。得到结果如图10和表1。

表 1: 频域信息嵌入效果

	压缩比	PSNR	正确率
embed 1	2.8561	18.7162	1
embed 2	6.2485	33.362	1
embed 3	6.1914	31.8924	1

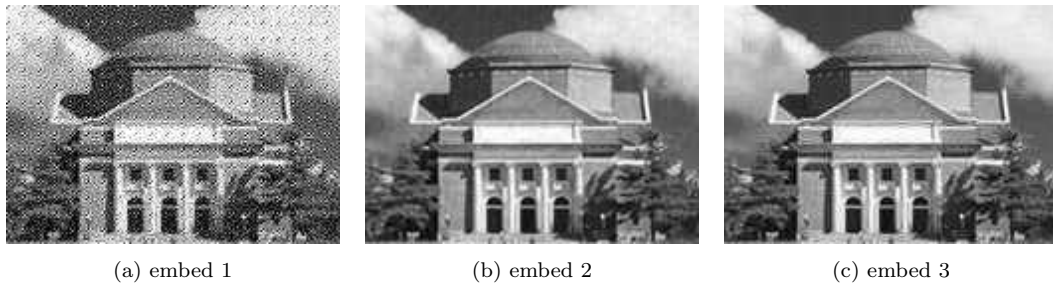


图 10: hall\_gray频域信息嵌入结果

可以看到, 方法 2 和 3 因为添加信息较少, 且基本不会影响高频系数, 故压缩比与未添加隐藏信息时相差无几。而方法一的质量和压缩比明显下降, 并且人眼看来有明显的棋盘状图案, 基本没有起到“隐藏”的意义。

由于是在频域进行嵌入, 对于 JPEG 使用的 DCT 变换而言, 这种嵌入可以保证信息无损。将信息尽可能嵌入中低频更有利于隐藏信息, 即对于图像质量的影响尽可能低, 对于压缩比的影响尽可能小。

## 4 人脸检测

### 4.1 训练标准特征

在生成颜色分布直方图时利用了所有像素, 最后得到的频率分布与图像形状无关, 故不需要调整图片形状, 可以直接用于训练和检测。

使用如下函数得到一张图的颜色分布直方图, 在计算所有训练数据的分布后求均值即可得到标准特征。

```
function color_histogram = color_histogram(img, L)
%COLOR_HISTOGRAM generate color histogram of img
% param img: image matrix
% param L: color bit length <= 8
```



```

% return color_histogram: vector, histogram

[~, ~, c] = size(img);
assert(c == 3, 'img should have 3 channels, i.g. RGB');
bins = 0 : 2 ^ (3 * L);

img = floor(double(img) / 2 ^ (8 - L));
pixel = img(:, :, 1) * 2 ^ (2 * L) + ...
        img(:, :, 2) * 2 ^ L + img(:, :, 3);
pixel = reshape(pixel, 1, []);

color_histogram = histcounts(pixel, bins) * 3 / numel(img);
end

```

训练得到的标准特征如图11。可以看出，L 的大小影响的是色彩空间聚集区域的数量。如 L 为 3 时，将 RGB 为 0-31 的数量聚集到 [0, 0, 0]，而 L 为 4 时该点聚集的是 RGB 为 0-15 的像素数量，L 为 5 时聚集的是 RGB 为 0-7 的像素数量。L 会影响到颜色空间密度分布聚集后表现出来的“分辨率”。

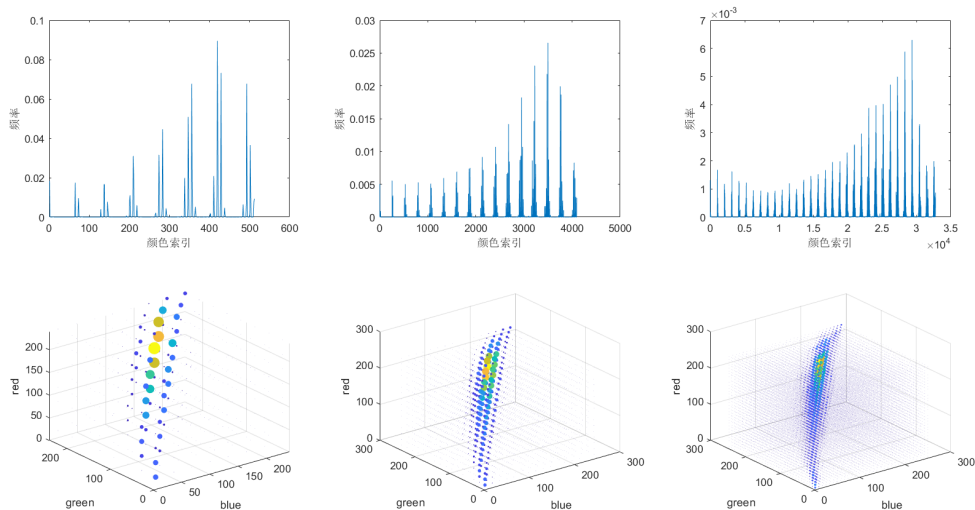


图 11: 颜色分布直方图与颜色空间密度分布

## 4.2 使用循环进行人脸检测

下面尝试使用循环从图片中检测出人脸，为方便复用，构建一个函数：

```

function candidates = ...
    detect_face(img, color_hist, L, blk_size, stride, threshold, k)

```

此函数接受一个图片矩阵 ( $H \times W \times C$ )，根据给定的颜色直方图标准 color\_hist 和参数 L，对图片中的若干个区域（大小由 blk\_size 给定，数量由步长 stride 和图片尺寸给出）进行“特征距离”的计算，再返回小于阈值的前 k 个矩形位置经去除相交后的结果。流程大致如图12所

示，具体细节见随附代码。同时使用阈值和 topK 的目的是尽量限制去除相交区域时的候选矩形框数目，使其甚至可以少于 k。实际使用时可以将阈值设为 1，在全部的结果中选取 k 个，便可以规避因为阈值不合适得不到结果的问题。

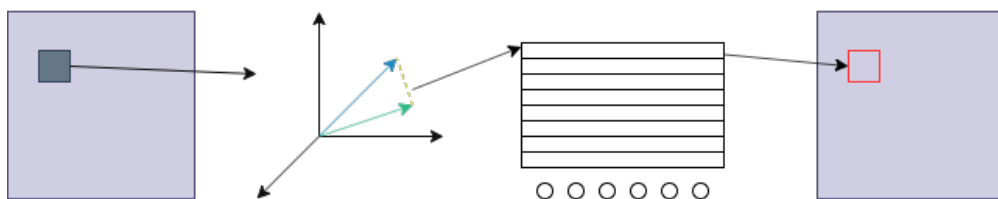


图 12: 人脸检测流程

初步实验结果表明，由于  $L=5$  时直方图细节较多，距离普遍较大，需要适当调大阈值以得到相似的结果，否则可能会得不到任何结果。选用了一张阿森纳球队的合影，适当调整参数尽量检测出所有人，见图13。



图 13: 人脸检测结果

`blk_size = [30, 25]; stride = [5, 5];`

可以看到，阈值和  $k$  足够大时， $L$  并不太影响检测结果。由于函数中是先选出距离前  $k$  小的，再使用 `rectint` 和循环进行  $O(n^2)$  的相交区域去除，故  $L=3$  的结果可能由于此原因相比  $L=4$  多遗失了两名球员的结果。由于训练使用的样本肤色较浅，当前参数均没有识别出右上角肤色较深的球员，表明此方法有相当大的局限性。

### 4.3 颜色分布直方图检测的稳定性

在上一节中， $L=3$  的效果已经不错，下面仍然使用  $L=3$  进行实验。使用以下函数对图像进行调整和检测：

```

img_rotate = imrotate(img, 90);
img_resize = imresize(img, [size(img, 1), size(img, 2) * 2]);
img_adjust = imadjust(img, [.1 .15 0; .85 .9 1]);

candidates_rotate = ...
    detect_face(img_rotate, color_hist.vec_3, ...
        3, [25, 30], stride, 0.4, 100);
candidates_resize = ...
    detect_face(img_resize, color_hist.vec_3, ...
        3, [30, 50], stride, 0.4, 100);
candidates_adjust = ...
    detect_face(img_adjust, color_hist.vec_3, ...
        3, [30, 25], stride, 0.4, 100);

```



(a) 拉伸



(b) 旋转



(c) 颜色调整

图 14: 人脸检测结果稳定性实验

从颜色分布直方图检测法的原理来看, 旋转必然不会影响检测结果, 而拉伸可能会由于插值方式的不同带来些微的影响, 颜色调整则必然会带来影响。在图14中可以看到, 旋转后的结果较上一节略好, 这应是调大了  $k$  的结果。与之相比, 拉伸少检测出一个人, 调整颜色则多检测出一个人。这可能就是颜色的些微变化, 让球员的脸部颜色直方图在所有候选中排位往前 (或往后) 移动, 导致最后检测结果出现变化。

#### 4.4 人脸样本训练标准的选取

从前面的实验结果来看，这种基于颜色分布直方图的方法虽然有受旋转、拉伸影响小的优点，但是非常受训练样本的影响，导致本实验中没有检测出非裔球员。虽然可能颜色分布与标准样本距离小于阈值，但仍会因为过于接近阈值，而在选取 topK 的步骤中被舍弃。如需进行更为准确的人脸检测，应当考虑针对不同人种训练不同的人脸标准，并在应用时将检测区域与所有样本进行比对，使得不同人种的脸部都能被识别出来。但随着标准的增多，误判的概率会有所上升，应考虑进一步限制阈值以保证准确性。

然而，由于颜色分布直方图的原理局限于颜色，不能捕获边缘特征。实际应用于人脸检测时应考虑引入边缘特征，与颜色分布一起计算一个“置信度”，再根据这个“置信度”决定是否是人脸。

## 5 后记